

Tesi doctoral presentada per En/Na

**Eduard ROCA I ABELLA**

amb el títol

**"L'estructura de la Conca Catalano-balear:  
paper de la compressió i de la  
distensió en la seva gènesi"**

per a l'obtenció del títol de Doctor/a en

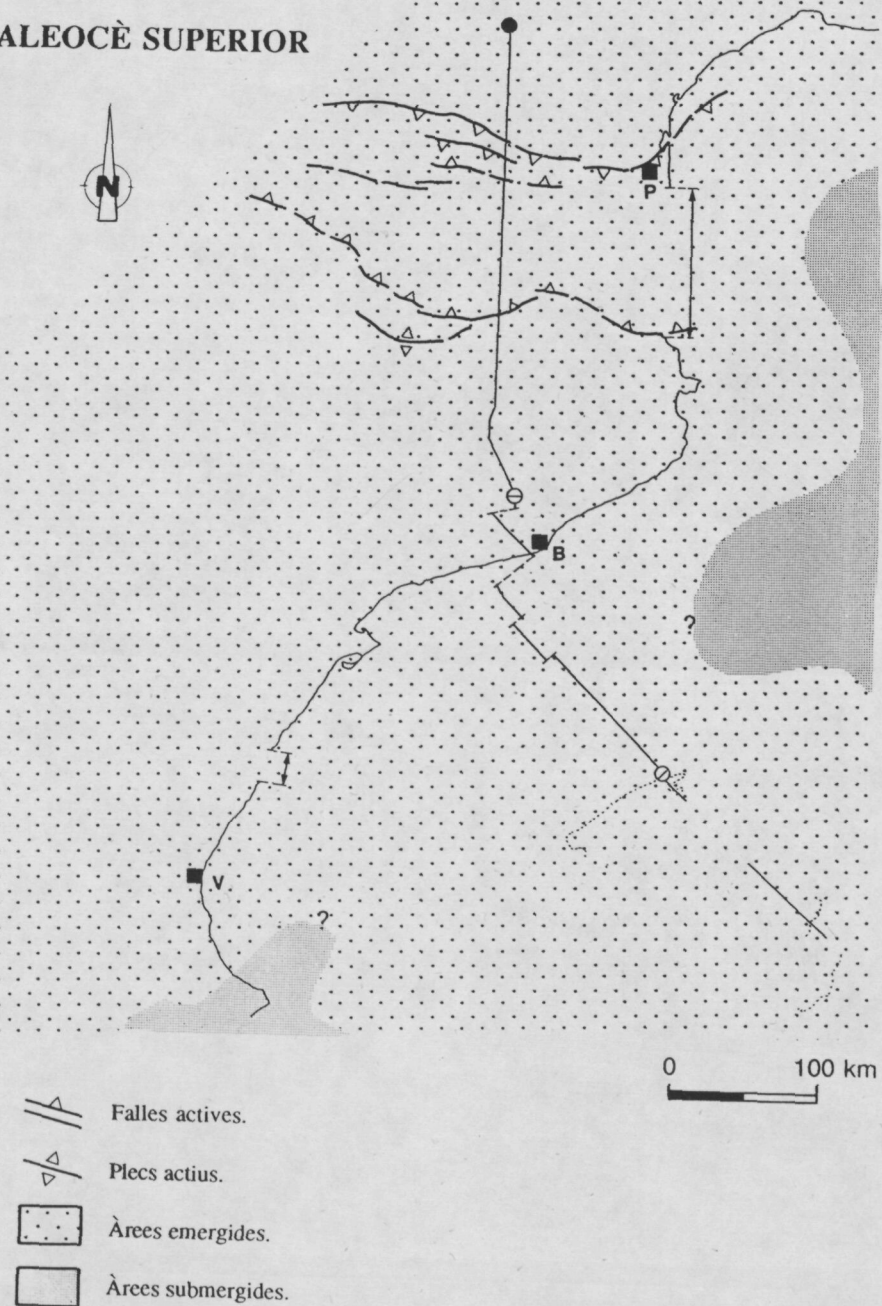
GEOLOGIA

Barcelona, 19 de març del 1992.

Facultat de Geologia  
Departament de Geologia Dinàmica, Geofísica i Paleontologia



## PALEOCÈ SUPERIOR

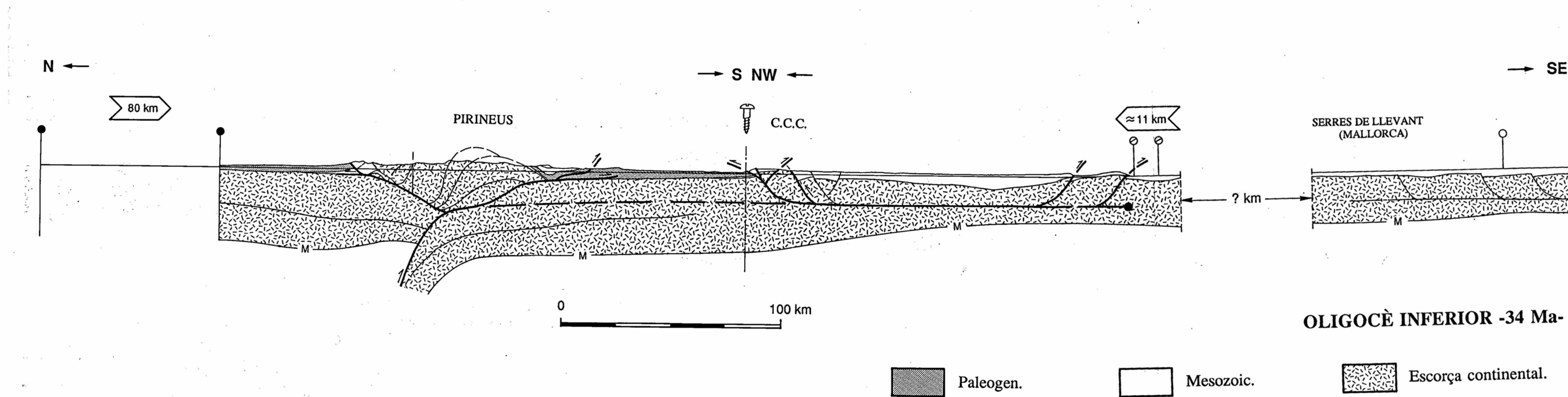


**Fig. 200.** Reconstrucció palinspàstica de la regió de la Conca Catalano-balear en el Paleocè superior. En el mapa s'assenyalen les principals estructures actives i la posició aproximada de les àrees emergides i submaríades.

**Fig. 200.** Late Palaeocene palinspastic reconstruction of the Catalan-balearic basin area. The main active faults and the approximate arrangement of emerged and submerged areas are indicated.

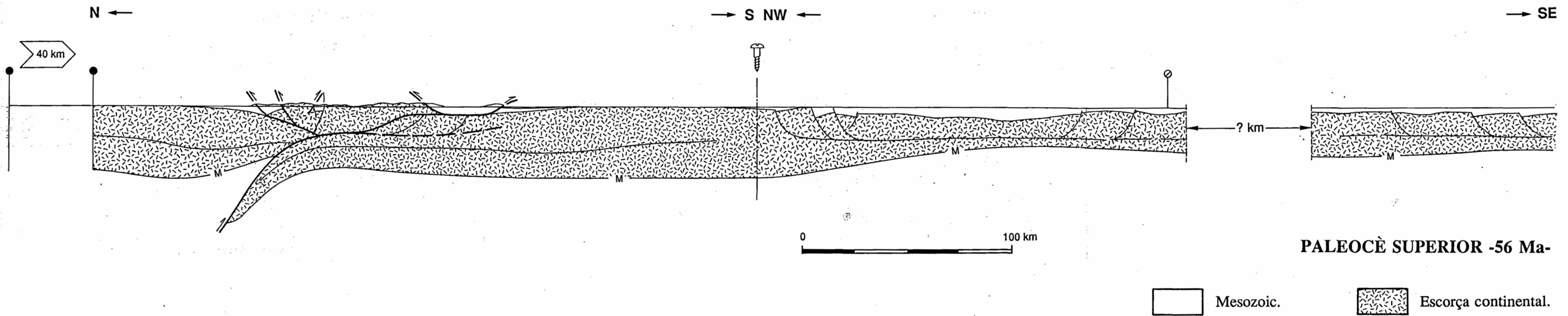
**Fig. 201.** Restitució del tall geològic de la fig. 191 en l'Oligocè inferior. Les fletxes indiquen els desplaçaments horitzontals que han sofert els diversos punts de referència considerats des de la restitució immediatament més antiga (Paleocè superior; fig. 202) fins a l'Oligocè inferior. Vegeu situació del tall a la fig. 199.

**Fig. 201.** *Early Oligocene restitution of fig. 191 geologic cross-section. Arrows indicate the horizontal displacement of the reference points from the former restitution (Late Palaeocene; fig. 202) to the Early Oligocene. See cross-section location in fig. 199.*

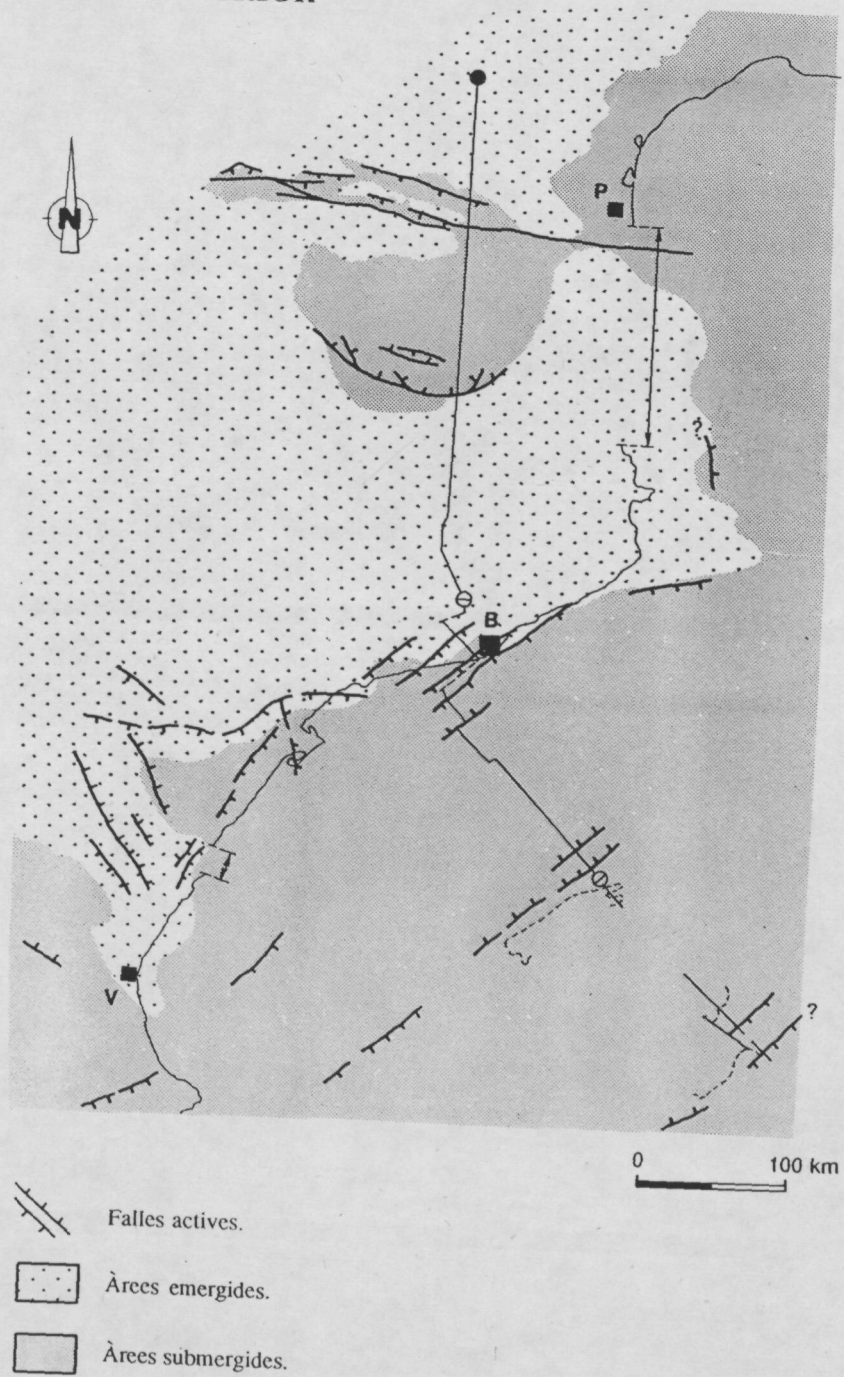


**Fig. 202.** Restitució del tall geològic de la fig. 191 en el Paleocè superior. Les fletxes indiquen els desplaçaments horitzontals que han sofert els diversos punts de referència considerats des de la restitució immediatament més antiga (Cretaci inferior; fig. 204) fins al Paleocè superior. Vegeu situació del tall a la fig. 200.

**Fig. 202.** Late Palaeocene restitution of fig. 191 geologic cross-section. Arrows indicate the horizontal displacement of the reference points from the former restitution (Early Cretaceous; fig. 204) to the Late Palaeocene. See cross-section location in fig. 200.



## CRETACI INFERIOR

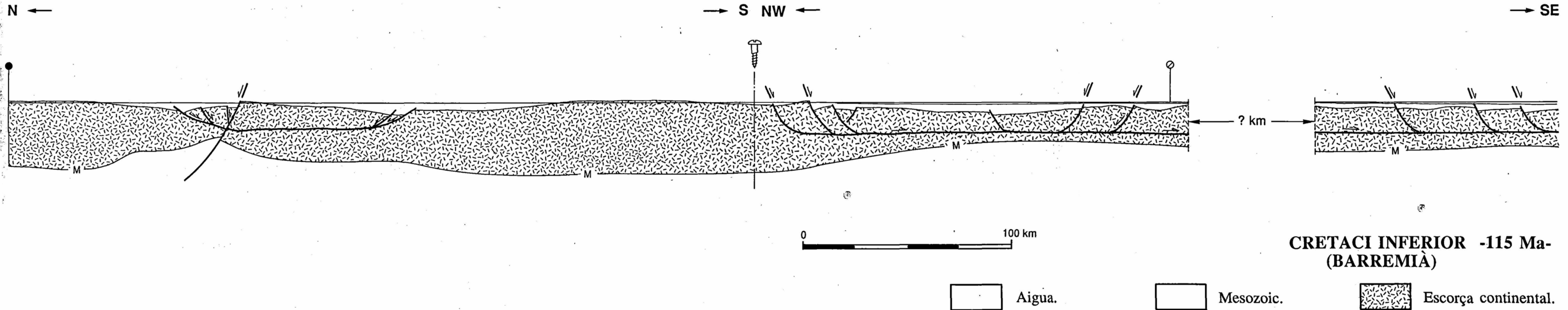


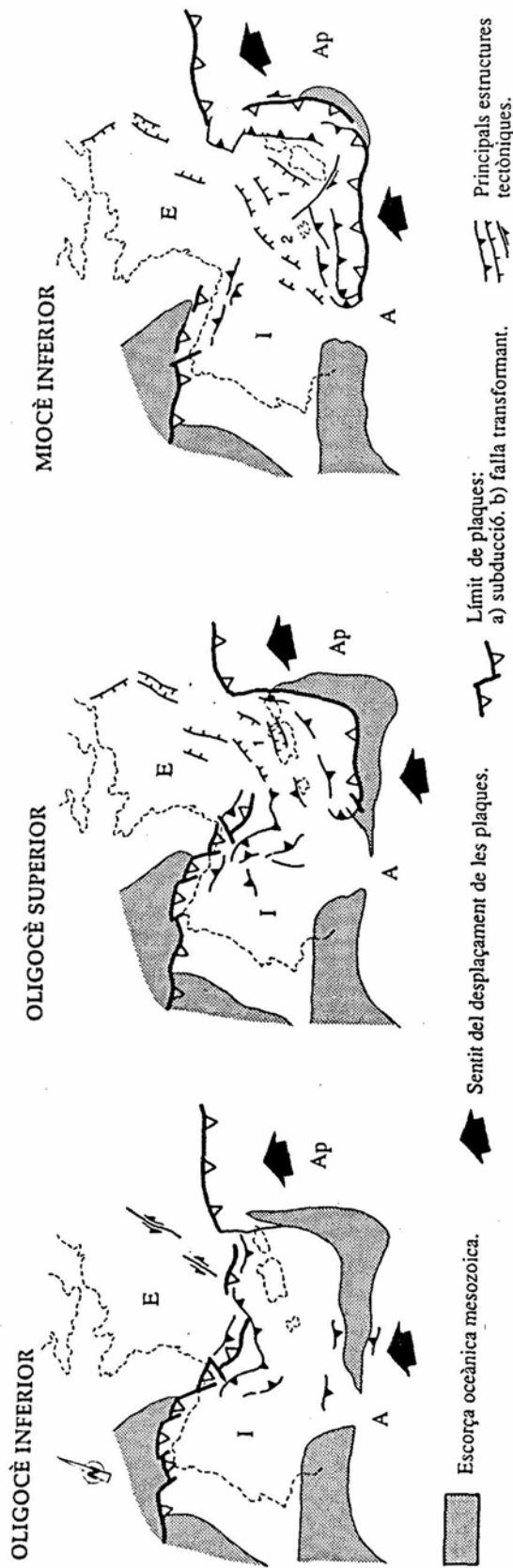
**Fig. 203.** Reconstrucció palinspàstica de la regió de la Conca Catalano-balear en el Cretaci inferior. En el mapa s'indiquen les principals falles actives i la posició aproximada de les àrees emergides i submergides.

**Fig. 203.** Early Cretaceous palinspastic reconstruction of the Catalan-balearic basin area. The main active faults and the approximate arrangement of emerged and submerged areas are indicated.

**Fig. 204.** Restitució del tall geològic de la fig. 191 en el Cretaci inferior. Vegeu situació del tall a la fig. 203.

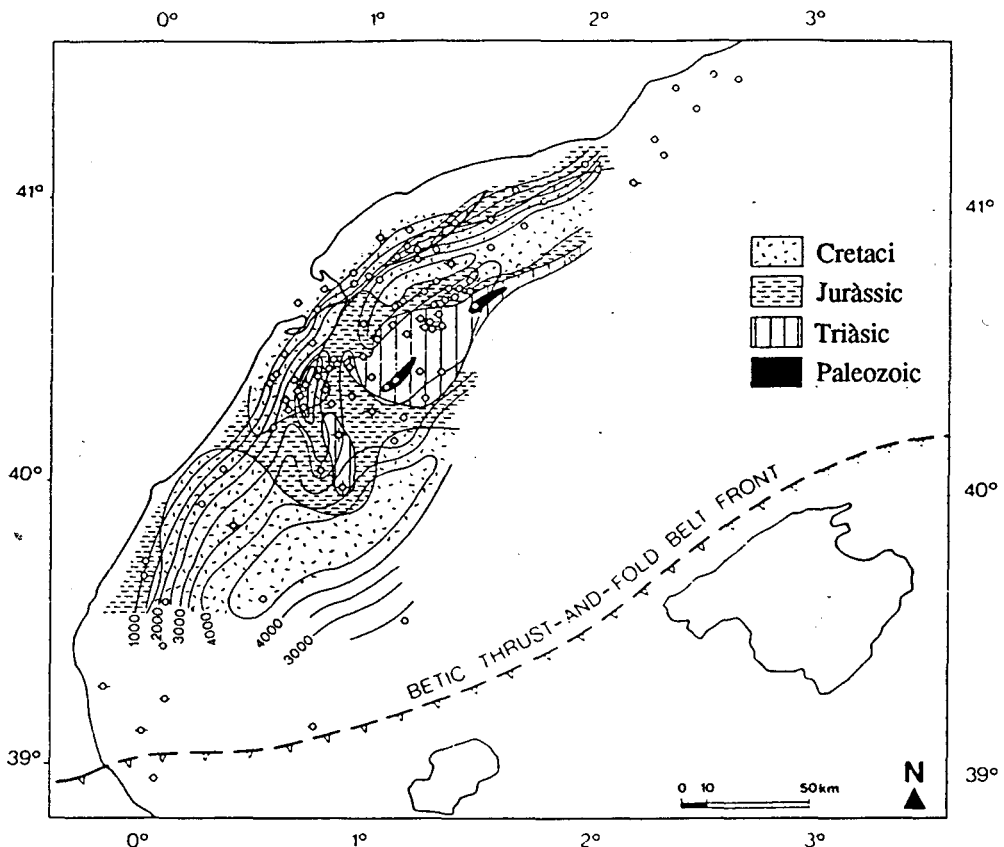
**Fig. 204.** Early Cretaceous restitution of fig. 191 geologic cross-section. See cross-section location in fig. 203.





**Fig. 205.** Seqüència evolutiva de la deformació oligoceno-miocena inferior de la Mediterrània occidental. En aquesta seqüència es constata com la zona de col·lisió entre Àfrica i Euràsia se situa primer al nord d'Ibèria i després, de forma progressiva, entre Ibèria i Àfrica Noteu que el desenvolupament de la zona de col·lisió entre Ibèria i Àfrica s'inicia a les parts orientals de la Mediterrània occidental i que des d'allà va migrar progressivament cap a l'oest. E- Euràsia; I- Ibèria; A- Àfrica; Ap- Apúlia; 1- Conca Liguro-provençal; 2- Conca Catalano-baleàr.

**Fig. 205.** Evolution of the western Mediterranean deformation from the Oligocene to the Middle Miocene. The collision zone between Africa and Eurasia is first located in the northern margin of Iberia and after, gradually, between Iberia and Africa. Note that the Iberia-African collision zone was initiated in the eastern parts of the western Mediterranean and afterwards it has progressively migrated westwards. E- Eurasia; I- Iberia; A- Africa; Ap- Apulia; 1- Liguro-provençal basin; 2- Catalan-baleàr basin.



**Fig. 206.** Mapa de la part occidental del solc de València que mostra les litologies que afloran per sota de la discordança basal del rebliment cenozoic de la Conca Catalano-balear (CLAVELL i BERÁSTEGUI, 1991).

**Fig. 206.** Subcrop map of the Cainozoic Valencia Trough infill basal unconformity (CLAVELL and BERÁSTEGUI, 1991).



## LÍNIA REGIONAL S.V.-I

